2010 Математика и механика № 1(9)

УДК 669.86:536.21

С.Г. Мартюшев, М.А. Шеремет

ЧИСЛЕННЫЙ АНАЛИЗ СОПРЯЖЕННОГО КОНВЕКТИВНО-РАДИАЦИОННОГО ТЕПЛОПЕРЕНОСА В ЗАМКНУТОЙ ОБЛАСТИ¹

Проведено математическое моделирование сложного теплопереноса в замкнутой прямоугольной области с теплопроводными стенками конечной толщины при наличии локального источника тепловыделения. В качестве механизмов переноса тепла в газовой полости рассматривались естественная конвекция и излучение, а в элементах ограждающей твердой оболочки — теплопроводность. Получены поля скорости и температуры, характеризующие основные закономерности исследуемого процесса в широком диапазоне изменения определяющих параметров.

Ключевые слова: сопряженный теплоперенос, естественная конвекция, излучение, математическое моделирование.

Математическое моделирование сопряженного конвективно-радиационного теплопереноса в газовой полости и теплопроводности в элементах твердого материала имеет достаточно широкие области приложения [1,2]. С точки зрения теоретического значения большой интерес вызывает наиболее полный анализ возможных режимов взаимодействия термогравитационной конвекции и излучения в газовой полости. Исследование процессов теплопереноса в областях при наличии теплопроводных стенок приобретает существенные связи с практикой (анализ теплового состояния радиоэлектронной аппаратуры; исследование технологических режимов в машиностроении; поиск оптимальных параметров по созданию комфортных условий в жилых помещениях) [1-3].

Целью настоящей работы является математическое моделирование нестационарной сопряженной естественной конвекции в замкнутой области при наличии локального источника тепловыделения в условиях радиационного теплопереноса в газовой полости и неоднородного теплообмена с внешней средой.

Постановка задачи

Рассматривается краевая задача нестационарного конвективно-радиационного теплопереноса в прямоугольной области, представленной на рис 1. Область решения представляет собой газовую полость, ограниченную теплопроводными стенками конечной толщины. На внутренней стороне левой стенки находится источник тепловыделения, имеющий постоянную температуру в течение всего процесса. Считается, что в начальный момент времени стенки полости и заполняющая ее несжимаемая жидкость имеют постоянную и одинаковую во всех точках температуру, причем жидкость неподвижна. Горизонтальные стенки y=0, $y=2h_1+H$ и вертикальная стенка $x=2l_1+L$ предполагаются теплоизолированными с наружной

¹ Работа выполнена в рамках реализации ФЦП «Научные и научно-педагогические кадры инновационной России» на 2009 – 2013 годы (ГК № ПЗ57).

стороны. На границе x=0 осуществляется конвективно-радиационный теплообмен с окружающей средой. Газ, занимающий внутреннюю полость, считается вязкой, ньютоновской, несжимаемой, излучающей жидкостью, удовлетворяющей приближению Буссинеска.

В такой постановке процесс переноса тепла в анализируемой области решения (рис. 1) описывается системой нестационарных двумерных уравнений конвекции в

приближении Буссинеска в газовой полости [4], где слагаемое в уравнении энергии, характеризующее излучение, описывается на основе приближения Росселанда [5]. Для анализа поля температуры в твердых стенках используется нестационарное двумерное уравнение теплопроводности [2] с нелинейными граничными условиями. Основным в приближении Буссинеска является предположение о том, что рассматривается «слабая» конвеквызванные неоднороднотемпературы отклонения плотности от среднего значения предполагаются настолько малыми, что ими можно пренебречь во всех уравнениях, кроме уравнения движения, где это от-

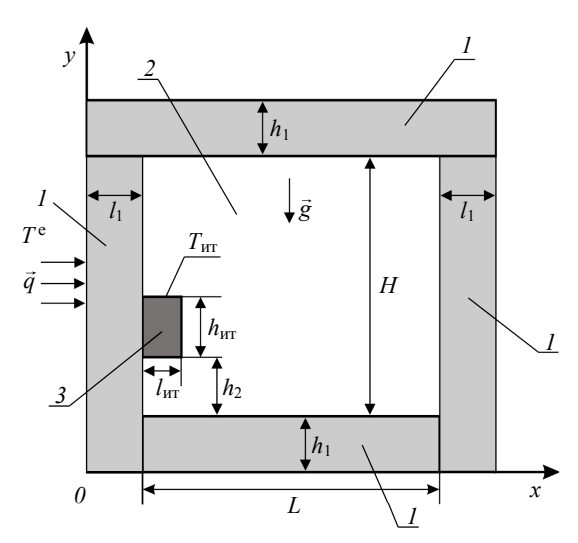


Рис. 1. Область решения: 1 – твердые стенки, 2 – газовая полость, 3 – источник тепла \vec{g}

клонение учитывается в члене с подъемной силой. В приближении Росселанда [5] излучающую среду можно рассматривать, как некоторый континуум фотонов, т.е. можно считать, что на каждый элемент среды, как и в случае молекулярной проводимости, непосредственно влияют только его соседние элементы. В таких условиях перенос энергии излучения в среде можно уподобить диффузионному переносу.

Если пренебрегать вязкой диссипацией энергии, то уравнения неразрывности, движения и энергии в газовой полости для рассматриваемой задачи будут иметь вил

$$\frac{\partial u}{\partial x} + \frac{\partial v}{\partial y} = 0 ; {1}$$

$$\rho \left(\frac{\partial u}{\partial t} + u \frac{\partial u}{\partial x} + v \frac{\partial u}{\partial y} \right) = -\frac{\partial p}{\partial x} + \mu \left(\frac{\partial^2 u}{\partial x^2} + \frac{\partial^2 u}{\partial y^2} \right); \tag{2}$$

$$\rho \left(\frac{\partial v}{\partial t} + u \frac{\partial v}{\partial x} + v \frac{\partial v}{\partial y} \right) = -\frac{\partial p}{\partial y} + \mu \left(\frac{\partial^2 v}{\partial x^2} + \frac{\partial^2 v}{\partial y^2} \right) + \rho \beta g_y \left(T_r - T_0 \right); \tag{3}$$

$$\rho_{\rm r} C_{pr} \left(\frac{\partial T_{\rm r}}{\partial t} + u \frac{\partial T_{\rm r}}{\partial x} + v \frac{\partial T_{\rm r}}{\partial y} \right) = \lambda_{\rm r} \left(\frac{\partial^2 T_{\rm r}}{\partial x^2} + \frac{\partial^2 T_{\rm r}}{\partial y^2} \right) - \operatorname{div} q_r, \tag{4}$$

где
$$\operatorname{div} q_r = \frac{\partial q_{rx}}{\partial x} + \frac{\partial q_{ry}}{\partial y}$$
.

На основе приближения Росселанда [5] тепловые потоки можно переписать следующим образом:

$$q_{rx} = -\frac{4\varepsilon\sigma}{3\beta_r} \frac{\partial T_r^4}{\partial x}, \quad q_{ry} = -\frac{4\varepsilon\sigma}{3\beta_r} \frac{\partial T_r^4}{\partial y}.$$

Подставляя эти соотношения в уравнение энергии (4), получим выражение

$$\rho_{\Gamma} C_{\rho\Gamma} \left(\frac{\partial T_{\Gamma}}{\partial t} + u \frac{\partial T_{\Gamma}}{\partial x} + v \frac{\partial T_{\Gamma}}{\partial y} \right) = \lambda_{\Gamma} \left(\frac{\partial^{2} T_{\Gamma}}{\partial x^{2}} + \frac{\partial^{2} T_{\Gamma}}{\partial y^{2}} \right) + \frac{4\varepsilon\sigma}{3\beta_{r}} \left[12T_{\Gamma}^{2} \left[\left(\frac{\partial T_{\Gamma}}{\partial x} \right)^{2} + \left(\frac{\partial T_{\Gamma}}{\partial y} \right)^{2} \right] + 4T_{\Gamma}^{3} \left[\frac{\partial^{2} T_{\Gamma}}{\partial x^{2}} + \frac{\partial^{2} T_{\Gamma}}{\partial y^{2}} \right] \right].$$
(5)

Область изменения независимых переменных для системы уравнений (1) – (3), (5) в газовой полости (рис. 1):

$$\begin{split} h_{\mathrm{l}} < y < h_{\mathrm{l}} + h_{\mathrm{2}} \,, & \ l_{\mathrm{l}} < x < l_{\mathrm{l}} + L; \ h_{\mathrm{l}} + h_{\mathrm{2}} \leq y \leq h_{\mathrm{l}} + h_{\mathrm{2}} + h_{\mathrm{mt}}, \ l_{\mathrm{l}} + l_{\mathrm{mt}} < x < l_{\mathrm{l}} + L; \\ h_{\mathrm{l}} + h_{\mathrm{2}} + h_{\mathrm{mt}} < y < h_{\mathrm{l}} + H, \ l_{\mathrm{l}} < x < l_{\mathrm{l}} + L; \ 0 < t < t_{\mathrm{Koh}}. \end{split}$$

Для элементов твердой стенки уравнение теплопроводности:

$$\rho_{\rm cr} C_{p \rm cr} \frac{\partial T_{\rm cr}}{\partial t} = \lambda_{\rm cr} \left(\frac{\partial^2 T_{\rm cr}}{\partial x^2} + \frac{\partial^2 T_{\rm cr}}{\partial y^2} \right). \tag{6}$$

Область изменения независимых переменных для уравнения теплопроводности в элементах твердой стенки (рис. 1):

$$\begin{split} 0 < y \le h_{\rm l} \,, \; 0 < x < 2l_{\rm l} + L; \;\; h_{\rm l} \le y \le h_{\rm l} + H \,, \;\; 0 < x \le l_{\rm l} \,, \;\; l_{\rm l} + L \le x < 2l_{\rm l} + L; \\ h_{\rm l} + H \le y < 2h_{\rm l} + H \,, \;\; 0 < x < 2l_{\rm l} + L; \;\; 0 < t < t_{\rm koh} \,. \end{split}$$

В этой системе уравнений (1)-(3), (5), (6) искомыми функциями являются компоненты вектора скорости u, v, давление p, температура $T_{\rm r}$ и $T_{\rm cr}$, которые зависят от пространственных координат x, y и времени t. Параметрами будут плотность газа и стенки $\rho_{\rm r}$ и $\rho_{\rm cr}$, коэффициент динамической вязкости μ , приведенная степень черноты ε , постоянная Стефана — Больцмана σ , средний интегральный коэффициент ослабления по Росселанду $\beta_{\rm R}$, радиационный поток $q_{\rm r}$, температурный коэффициент объемного расширения β , составляющая ускорения силы тяжести в проекции на ось y g_y (g_x = 0), начальная температура области решения T_0 , удельная теплоемкость при постоянном давлении газа и материала стенки $C_{p\rm r}$ и $C_{p\rm cr}$, коэффициент теплопроводности газа и материала стенки $\lambda_{\rm r}$ и $\lambda_{\rm cr}$.

Поскольку целью настоящей работы является анализ теплового состояния системы в условиях взаимного влияния естественной конвекции в ячейке, заполненной газом, и кондуктивного теплообмена в элементах твердой стенки, то наиболее целесообразным представляется преобразование сформулированной системы дифференциальных уравнений (1) - (3), (5), (6) к виду, исключающему непосредственный поиск поля давления. Для этого введем в рассмотрение функцию тока ψ и вектор вихря скорости ω , которые задаются следующим образом:

$$u = \frac{\partial \psi}{\partial y}, \ v = -\frac{\partial \psi}{\partial x}, \ \omega = \operatorname{rot}_z \vec{V} = \left(\frac{\partial v}{\partial x} - \frac{\partial u}{\partial y}\right).$$
 (7)

Тогда с учетом (7) уравнения (1) - (3), (5), (6) примут вид

• в газовой полости

$$\rho \left(\frac{\partial \omega}{\partial t} + u \frac{\partial \omega}{\partial x} + v \frac{\partial \omega}{\partial y} \right) = \mu \left(\frac{\partial^2 \omega}{\partial x^2} + \frac{\partial^2 \omega}{\partial y^2} \right) + \rho \beta g_y \frac{\partial T_r}{\partial x}; \tag{8}$$

$$\frac{\partial^2 \Psi}{\partial x^2} + \frac{\partial^2 \Psi}{\partial y^2} = -\omega ; \qquad (9)$$

$$\rho_{\Gamma}C_{p\Gamma}\left(\frac{\partial T_{\Gamma}}{\partial t} + u\frac{\partial T_{\Gamma}}{\partial x} + v\frac{\partial T_{\Gamma}}{\partial y}\right) = \lambda_{\Gamma}\left(\frac{\partial^{2}T_{\Gamma}}{\partial x^{2}} + \frac{\partial^{2}T_{\Gamma}}{\partial y^{2}}\right) + \frac{4\varepsilon\sigma}{3\beta_{R}}\left[12T_{\Gamma}^{2}\left[\left(\frac{\partial T_{\Gamma}}{\partial x}\right)^{2} + \left(\frac{\partial T_{\Gamma}}{\partial y}\right)^{2}\right] + 4T_{\Gamma}^{3}\left[\frac{\partial^{2}T_{\Gamma}}{\partial x^{2}} + \frac{\partial^{2}T_{\Gamma}}{\partial y^{2}}\right]\right];$$
(10)

• в элементах твердой стенки

$$\rho_{\rm cr} C_{p\rm cr} \frac{\partial T_{\rm cr}}{\partial t} = \lambda_{\rm cr} \left(\frac{\partial^2 T_{\rm cr}}{\partial x^2} + \frac{\partial^2 T_{\rm cr}}{\partial v^2} \right). \tag{11}$$

В новых переменных уравнение неразрывности удовлетворяется тождественно. Связь вектора завихренности с функцией тока (9) следует из определения вектора завихренности (7). Уравнение диффузии вихря (8) можно получить из уравнений (2) и (3), воспользовавшись методикой перекрестного дифференцирования.

Вследствие большого разнообразия геометрических параметров и теплофизических характеристик рассматриваемого объекта воспользуемся безразмерной формой записи исходных уравнений. При этом использование безразмерной системы преследует две цели: приведение значений вычисляемых величин к соответствующей шкале, а также расчет и обработка результатов в общей критериальной форме, содержащей минимальное число параметров. Эти цели могут достигаться соответствующим выбором масштабов.

В качестве масштабов расстояния, времени, скорости, температуры, функции тока и завихренности были выбраны L, $\sqrt{L/g_y\beta(T_{\rm ut}-T_0)}$, $\sqrt{g_y\beta(T_{\rm ut}-T_0)L}$, $(T_{\rm ut}-T_0)$, $\sqrt{g_y\beta(T_{\rm ut}-T_0)L^3}$, $\sqrt{g_y\beta(T_{\rm ut}-T_0)/L}$. Безразмерные переменные примут следующий вид:

$$\begin{split} X &= x/L \,, \; Y = y/L \,, \; \tau = t \sqrt{g_y \beta (T_{\text{HT}} - T_0)/L} \,, \; \Theta = (T - T_0)/(T_{\text{HT}} - T_0) \,, \\ U &= u / \sqrt{g_y \beta (T_{\text{HT}} - T_0)L} \,, \quad V = v / \sqrt{g_y \beta (T_{\text{HT}} - T_0)L} \,, \\ \Psi &= \psi / \sqrt{g_y \beta (T_{\text{HT}} - T_0)L^3} \,, \; \Omega = \omega \sqrt{L/g_y \beta (T_{\text{HT}} - T_0)} \,, \end{split}$$

где X, Y — безразмерные координаты, соответствующие координатам x, y; L — длина газовой полости рассматриваемой области решения по оси $x; \tau$ — безразмерное время; U, V — безразмерные скорости, соответствующие скоростям $u, v; \Theta$ — безразмерная температура; $T_{\text{ит}}$ — температура источника тепловыделения; Ψ — безразмерный аналог функции тока; Ω — безразмерный аналог вектора вихря.

Безразмерные уравнения Буссинеска в переменных «вихрь скорости – функция тока – температура» для рассматриваемой задачи:

• в газовой полости (2 на рис. 1):

$$\frac{\partial \Omega}{\partial \tau} + \frac{\partial \Psi}{\partial Y} \frac{\partial \Omega}{\partial X} - \frac{\partial \Psi}{\partial X} \frac{\partial \Omega}{\partial Y} = \sqrt{\frac{Pr}{Ra}} \left(\frac{\partial^2 \Omega}{\partial X^2} + \frac{\partial^2 \Omega}{\partial Y^2} \right) + \frac{\partial \Theta_r}{\partial X}, \tag{12}$$

$$\frac{\partial^2 \Psi}{\partial X^2} + \frac{\partial^2 \Psi}{\partial Y^2} = -\Omega,\tag{13}$$

$$\frac{\partial \Theta_{\Gamma}}{\partial \tau} + \frac{\partial \Psi}{\partial Y} \frac{\partial \Theta_{\Gamma}}{\partial X} - \frac{\partial \Psi}{\partial X} \frac{\partial \Theta_{\Gamma}}{\partial Y} = \frac{1}{\sqrt{\Pr \cdot Ra}} \left(\frac{\partial^{2} \Theta_{\Gamma}}{\partial X^{2}} + \frac{\partial^{2} \Theta_{\Gamma}}{\partial Y^{2}} \right) + \frac{16Sk}{3\tau_{\lambda}} \frac{1}{\sqrt{\Pr \cdot Ra}} \times \times \left\{ 3 \left(\Theta_{\Gamma} + \frac{T_{0}}{T_{\text{HT}} - T_{0}} \right)^{2} \left[\left(\frac{\partial \Theta_{\Gamma}}{\partial X} \right)^{2} + \left(\frac{\partial \Theta_{\Gamma}}{\partial Y} \right)^{2} \right] + \left(\Theta_{\Gamma} + \frac{T_{0}}{T_{\text{HT}} - T_{0}} \right)^{3} \left(\frac{\partial^{2} \Theta_{\Gamma}}{\partial X^{2}} + \frac{\partial^{2} \Theta_{\Gamma}}{\partial Y^{2}} \right) \right\}, (14)$$

• в элементах твердой стенки (1 на рис. 1):

$$\frac{\partial \Theta_{\rm cr}}{\partial F_{\rm O_{cr}}} = \frac{\partial^2 \Theta_{\rm cr}}{\partial X^2} + \frac{\partial^2 \Theta_{\rm cr}}{\partial Y^2}.$$
 (15)

Здесь Ra = $g_y \beta (T_{\rm ut} - T_0) L^3 / \nu a_{_\Gamma}$ — число Рэлея; ν — кинематический коэффициент вязкости; Sk $_{_\Gamma} = \epsilon \sigma L (T_{\rm ut} - T_0)^3 / \lambda_{_\Gamma}$ — число Старка в газовой полости; Pr = $\nu / a_{_\Gamma}$ — число Прандтля; τ_{λ} — монохроматическая оптическая толщина среды; $a_{_\Gamma}$ — коэффициент температуроповодности газа; $a_{_{\rm ct}}$ — коэффициент температуроповодности материала стенки; Fo $_{_{\rm ct}} = \sqrt{a_{_{\rm ct}}^2/g_y \beta (T_{_{\rm ut}} - T_0) L^3}$ — число Фурье, соответствующее материалу твердой стенки.

Начальные условия для системы уравнений (12) – (15):

$$\begin{split} & \Psi(X,Y,0) = \Omega(X,Y,0) = 0; \\ & \Theta(X,Y,0) = 0; \\ & \Theta(X,Y,0) = 1 \text{ при } \frac{h_1 + h_2}{L} \le Y \le \frac{h_1 + h_2 + h_{\text{HT}}}{L}, \quad \frac{l_1}{L} \le X \le \frac{l_1 + l_{\text{HT}}}{L}. \end{split} \tag{16}$$

Граничные условия:

• на внешних границах области решения:

$$\frac{\partial \Theta_{\text{ст}}}{\partial X} = \text{Bi} \cdot \Theta_{\text{ст}} - \text{Bi} \cdot \Theta_{\text{e}} + \text{Sk}_{\text{ст}} \cdot \left[\left(\Theta_{\text{ст}} + \frac{T_0}{T_{\text{ит}} - T_0} \right)^4 - \left(\frac{T_{\text{e}}}{T_{\text{ит}} - T_0} \right)^4 \right]$$
при $X = 0, \ 0 \le Y \le (2h_1 + H)/L, \ 0 \le \tau \le t_{\text{кон}}/t_0;$ (17)

$$\frac{\partial \Theta_{\text{ст}}}{\partial X} = 0$$
 при $X = 2l_1/L + 1$, $0 \le Y \le (2h_1 + H)/L$, $0 \le \tau \le t_{\text{кон}}/t_0$; (18)

$$\frac{\partial \Theta_{\text{cr}}}{\partial Y} = 0 \quad \left| \begin{array}{l} \text{при } Y = 0, \ 0 \le X \le 2l_1/L + 1, \ 0 \le \tau \le t_{\text{кон}}/t_0, \\ \text{при } Y = (2h_1 + H)/L, \ 0 \le X \le 2l_1/L + 1, \ 0 \le \tau \le t_{\text{кон}}/t_0; \end{array} \right.$$
(19)

• на внутренних границах области решения:

$$\Psi = \frac{\partial \Psi}{\partial X} = 0; \ \Theta_{\text{ст}} = \Theta_{\text{г}}, \ \frac{\partial \Theta_{\text{ст}}}{\partial X} = \overline{\lambda} \frac{\partial \Theta_{\text{г}}}{\partial X}$$
 при
$$\begin{vmatrix} X = l_1/L, & h_1/L \le Y \le (h_1 + h_2)/L, & 0 \le \tau \le t_{\text{кон}}/t_0, \\ X = l_1/L, & (h_1 + h_2 + h_{\text{нт}})/L \le Y \le (h_1 + H)/L, & 0 \le \tau \le t_{\text{кон}}/t_0, \\ X = l_1/L + 1, & h_1/L \le Y \le (h_1 + H)/L, & 0 \le \tau \le t_{\text{кон}}/t_0; \end{vmatrix}$$
 (20)

$$\begin{split} \Psi &= \frac{\partial \Psi}{\partial Y} = 0; \; \Theta_{\text{ст}} = \Theta_{\text{г}} , \; \frac{\partial \Theta_{\text{ст}}}{\partial Y} = \overline{\lambda} \frac{\partial \Theta_{\text{г}}}{\partial Y} \\ \text{при} & \begin{vmatrix} Y &= h_{\text{l}}/L \; , \; l_{\text{l}}/L \leq X \leq l_{\text{l}}/L + 1, \; 0 \leq \tau \leq t_{\text{кон}}/t_{0} \; , \\ Y &= (h_{\text{l}} + H)/L \; , \; l_{\text{l}}/L \leq X \leq l_{\text{l}}/L + 1, \; 0 \leq \tau \leq t_{\text{кон}}/t_{0} \; ; \end{split}$$

$$\Theta = 1$$
 при $X = l_1/L$, $(h_1 + h_2)/L \le Y \le (h_1 + h_2 + h_{\text{HT}})/L$, $0 \le \tau \le t_{\text{кон}}/t_0$; (22)

$$\Psi = \frac{\partial \Psi}{\partial Y} = 0, \ \Theta = 1$$
 при
$$|Y = (h_1 + h_2)/L, \ l_1/L \le X \le (l_1 + l_{\text{HT}})/L, \ 0 \le \tau \le t_{\text{кон}}/t_0,$$
 (23)
$$|Y = (h_1 + h_2 + h_{\text{HT}})/L, \ l_1/L \le X \le (l_1 + l_{\text{HT}})/L, \ 0 \le \tau \le t_{\text{кон}}/t_0;$$

$$\Psi = \frac{\partial \Psi}{\partial X} = 0, \ \Theta = 1$$
 при $X = (l_1 + l_{\text{HT}})/L$, $(h_1 + h_2)/L \le Y \le (h_1 + h_2 + h_{\text{HT}})/L$, $0 \le \tau \le t_{\text{кон}}/t_0$. (24)

Особенность постановки граничных условий для системы (12) - (15) состоит в том, что они заданы лишь для функции тока и формально не заданы для вихря непосредственно на границе области.

Краевая задача (12) – (24) решена методом конечных разностей [7] на равномерной сетке.

Для аппроксимации конвективных слагаемых в эволюционных уравнениях применялась схема с донорными ячейками [8], обладающая свойствами консервативности и транспортивности и сохраняющая некоторые свойства схемы второго порядка точности. Значения вектора завихренности на поверхностях стенок определялись по формуле Вудса второго порядка точности [7, 9]. Уравнения параболического типа (12), (14), (15) решались с использованием локально одномерной схемы А.А. Самарского [10], т.е. совершался переход на промежуточный временной слой. Полученная таким образом система линейных алгебраических уравнений (СЛАУ) с трехдиагональной матрицей разрешалась методом прогонки. Для дискретизации уравнения Пуассона (13) применялся пятиточечный шаблон «крест» на основе формул симметричной аппроксимации вторых производных. При этом полученная СЛАУ разрешалась методом последовательной верхней релаксации [6]. Оптимальное значение параметра релаксации подбиралось на основе вычислительных экспериментов.

Разработанный метод решения был протестирован на задаче естественной конвекции в замкнутой квадратной полости [11]. В таблице представлено сравнение значений среднего числа Нуссельта на вертикальной стенке при различных Ra, полученных на основе разработанного алгоритма, с результатами других авторов.

Ra	[11]	[12]	[13]	[14]	[15]	[16]	Полученные результаты
10^{3}	1,118	-	-	-	-	-	1,121
10^{4}	2,243	2,244	2,245	2,418	2,244	2,254	2,247
10 ⁵	4,519	4,521	4,522	4,715	4,536	4,561	4,536
10^{6}	8,800	8,825	8,829	9,194	8,860	8,923	8,981

Значения среднего числа Нуссельта при различных числах Рэлея

Из представленной таблицы видно, что полученные результаты согласуются с данными других работ. Максимальная относительная погрешность соответствует $Ra=10^6$ и равна 2 %.

Результаты численного моделирования

Численные исследования краевой задачи (12) – (24) проведены при следующих значениях безразмерных комплексов:

$$10^4 \le Ra \le 10^6$$
, $Pr = 0.7$, $\overline{\lambda} = \lambda_r / \lambda_{cr} = 3.7 \cdot 10^{-2}$, $5.7 \cdot 10^{-4}$, $6.8 \cdot 10^{-5}$.

Безразмерные определяющие температуры принимали значения: $\Theta_{\rm e}=-1,~\Theta_{\rm ит}=1,~\Theta_0=0.$ Особое внимание было уделено анализу влияния числа Рэлея, фактора нестационарности, теплофизических характеристик материала твердой стенки, а также оптической толщины среды на формирование термогидродинамических режимов.

Влияние числа Рэлея

На рис. 2 представлены линии тока и поля температуры, соответствующие различным режимам естественной конвекции $Ra=10^4,\ 10^5,\ 10^6,\ при\ \tau=600,\ \overline{\lambda}=5.7\cdot 10^{-4}$, $\tau_{\lambda}=50.$

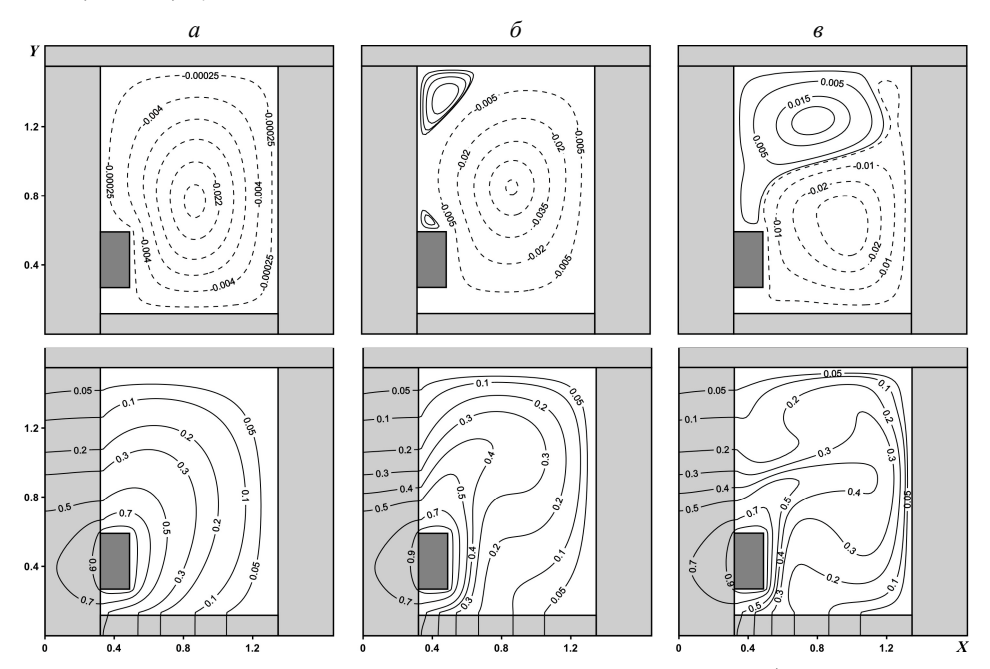


Рис. 2. Линии тока и поля температуры при $\tau=600,~\overline{\lambda}=5.7\cdot10^{-4}$, $\tau_{\lambda}=50$: $a-\mathrm{Ra}=10^4;~\delta-\mathrm{Ra}=10^5;~e-\mathrm{Ra}=10^6$

Увеличение числа Рэлея, обусловленное ростом температурного напора в полости, приводит к появлению вторичных циркуляций в зоне левого верхнего угла, а также отражается на росте скорости движения жидкости в полости. Необходимо отметить, что переход от $Ra=10^5$ к $Ra=10^6$ проявляется в существенной модификации линий тока — значительно увеличивается вихрь, располагавшийся в зоне верхнего левого угла, что приводит к деформации основной конвективной ячейки, обусловленной воздействием источника тепла. Причиной такого изменения в гидродинамике процесса, по всей видимости, является распространение возмущений от левого элемента твердой стенки вследствие опосредованного воздействия низкой температуры окружающей среды. На границе X=0 моделируется конвектив-

но-радиационный теплообмен с внешней средой, что отражается на проникновении пониженной температуры вглубь левой стенки и приводит к формированию некоторого поля возмущений вблизи внутренней поверхности этой стенки. Увеличение числа Рэлея в свою очередь способствует зарождению неустойчивого термического факела над источником тепла, который, изменяя свою ориентацию, вследствие продвижения фронта пониженной температуры от границы X=0, приводит к увеличению масштабов вторичной циркуляции.

Таким образом, увеличение роли подъемной силы отражается на смещении теплового факела в сторону правой стенки, что сказывается на смене гидродинамической картины: из одномасштабной конвективной ячейки формируются две вихревые структуры.

Влияние фактора нестационарности

Рассматриваемая задача является нестационарной, что обусловлено наличием зоны существенной температурной неоднородности, а также теплообменом с окружающей средой. Следует отметить, что для сложных технических устройств нестационарные процессы конвективного теплообмена практически всегда возникают при запуске и прекращении работы. В ходе таких процессов могут возникать опасные режимы. Характерным примером служит рабочий объем ядерного реактора, в котором перепады температуры при переходных процессах могут стать критическими для элементов конструкции. Те же соображения важны и для электрического оборудования и электронных приборов, охлаждаемых естественной конвекцией.

На рис. 3 показаны линии тока и поля температуры, отражающие динамику формирования режимов течения и теплообмена с течением времени при Ra = 10^5 , $\overline{\lambda} = 5.7 \cdot 10^{-4}$ и $\tau_{\lambda} = 50$.

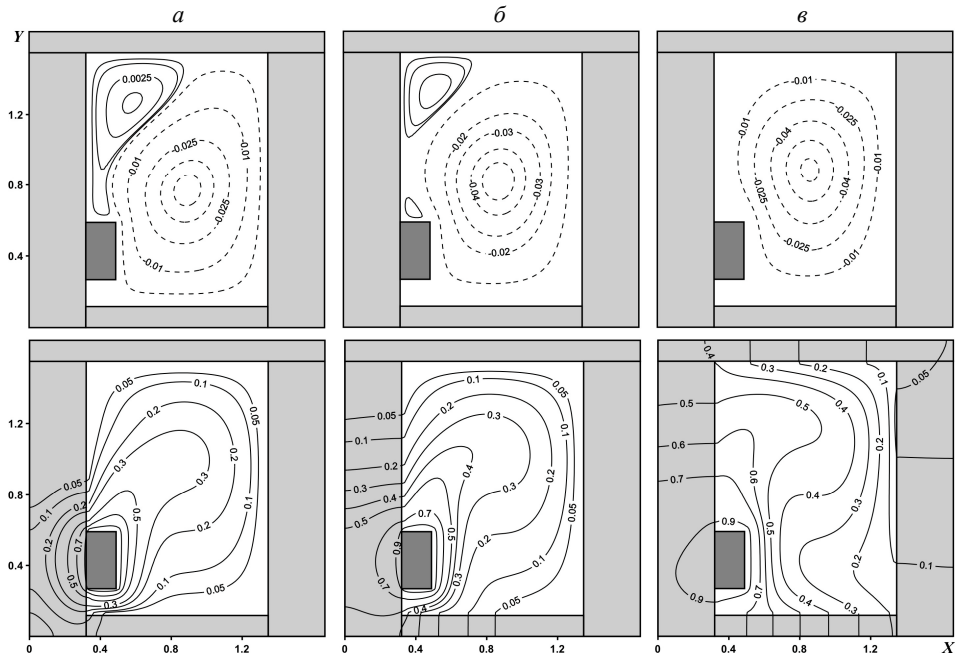


Рис. 3. Линии тока и поля температуры при Ra = $10^5,~\overline{\lambda}=5.7\cdot 10^{-4}~$ и $\tau_{\lambda}=50$: $a-\tau=100;~\sigma-\tau=300;~\sigma-\tau=800$

Увеличение безразмерного времени приводит к росту температуры как в газовой полости, так и в элементах твердой стенки. При $\tau = 100$ (рис. 3, a) в полости над источником тепла формируется вторичный вихрь, обусловленный влиянием внешней среды. С ростом τ (рис. 3, δ) заметно значительное увеличение температуры в левой стенке, что приводит к уменьшению степени влияния распространения поля пониженной температуры от границы X = 0 и, следовательно, наблюдается уменьшение размеров вторичной циркуляции. Поле температуры при этом в газовой полости также изменяется - тепловой факел незначительно смещается к левой стенке. Дальнейший рост временного параметра (рис. 3, в) приводит к значительному прогреву области решения. Вторичное течение в левом верхнем углу полости диссипирует, наблюдается также увеличении скорости циркуляции газа в конвективной ячейке. Тепловой факел полностью присоединяется к левой стенке вследствие повышения температуры в этом элементе.

Был проведен также анализ влияния безразмерного времени на среднее число

ьыл проведен также анализ влияния оезразмерного времени на среднее число
Нуссельта на внутренней поверхности правой стенки
$$\mathrm{Nu}_{\mathrm{avg}} = \frac{1}{1,4} \int\limits_{0.12}^{1,52} \left| \frac{\partial \Theta}{\partial X} \right|_{X=1,34} dY$$
 .

В сопряженных задачах теплообмена локальное и среднее числа Нуссельта зави-

сят не только от свойств жидкости и характеристик течения в полости, но от взаимодействия кондуктивного теплопереноса в стенках с конвекцией в полости.

С ростом т заметно формирование трех переходных нестационарных режимов теплопереноса в области решения, судя по рис. 4. При $0 < \tau < 300$ (Ra = 10^5 , 10^6) наблюдается уменьшение Nuavg, что соответствует прогреву газовой полости. При 300 < τ < 700 график среднего числа Нуссельта выходит на площадку, что определяет формирование квазистационарнорежима, далее $700 < \tau < 900$ наблюдается увели-

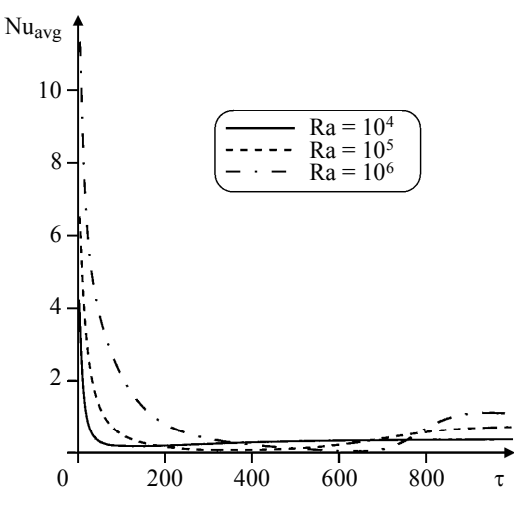


Рис. 4. Зависимость Nu_{avg} от τ и Ra

чение градиента температуры, что связано с перестройкой поля температуры как в полости, так и в правой стенке. Дальнейшее увеличение т не приводит к существенным изменениям в распределении среднего числа Нуссельта. При $Ra = 10^4$ выход на стационар происходит при τ = 400.

Влияние относительного коэффициента теплопроводности

На рис. 5 представлены линии тока и поля температуры, характеризующие влияние относительного коэффициента теплопроводности на термогидродинамические параметры системы при $Ra = 10^5$, $\tau = 600$ и $\tau_{\lambda} = 50$.

Уменьшение относительного коэффициента теплопроводности $\overline{\lambda}$ связано с ростом коэффициента теплопроводности материала твердых стенок, что отражается и на картине течения, и на поле температуры. В случае, когда материал стенки является теплоизолятором (рис. 5, a), заметно влияние внешней среды — в левой стенке присутствуют изотермы пониженной температуры, а в газовой полости формируется вторичный вихрь в зоне верхнего левого угла. При $\overline{\lambda} = 5, 7 \cdot 10^{-4}$ (рис. 5, δ) источник тепла полностью ослабляет влияние окружающей среды, что приводит к уменьшению размеров вторичной циркуляции, а также к увеличению скорости движения газа в конвективной ячейке. Дальнейшее увеличение $\lambda_{\rm ст}$

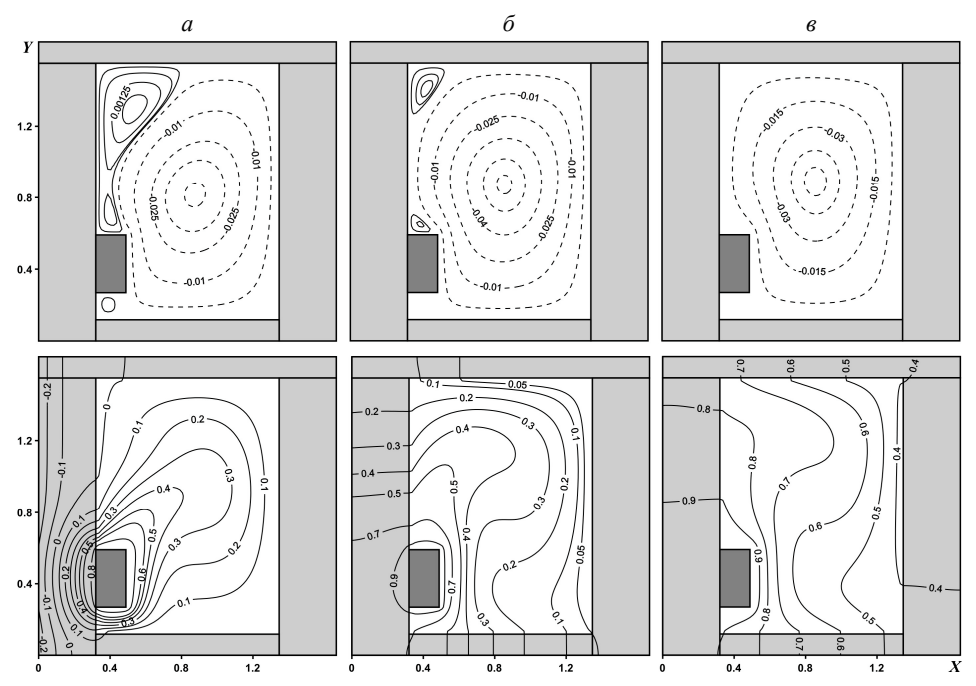


Рис. 5. Линии тока и поля температуры при Ra = 10^5 , $\tau = 600$: $a - \overline{\lambda} = 3,7 \cdot 10^{-2}$; $\sigma - \overline{\lambda} = 5,7 \cdot 10^{-4}$; $\sigma - \overline{\lambda} = 6,8 \cdot 10^{-5}$

(рис. 5, в) сказывается на значительном прогреве полости, что отражается на понижение градиента температуры в газе, и соответственно заметно уменьшение скорости циркуляции в конвективной ячейке. Последнее указывает на существование оптимального набора теплофизических характеристик материала стенок, который позволил бы интенсифицировать конвективный теплоперенос в полости и увеличить отвод тепла от нагреваемых элементов.

Заключение

Проведено математическое моделирование нестационарного конвективно-радиационного теплопереноса в замкнутой области с теплопроводными стенками конечной толщины при наличии источника тепла в условиях неоднородного теплообмена с внешней средой. Сопряженная задача численно проанализирована в широком диапазоне изменения определяющих параметров: $Ra=10^4,\,10^5,\,10^6,\,Pr=0,71,\,\tau=100-1000,\,\overline{\lambda}=6,8\cdot10^{-5},\,5,7\cdot10^{-4},\,3,7\cdot10^{-2}.$ В результате получены ти-

пичные распределения линий тока и поля температуры. Исследовано влияние числа Рэлея, фактора нестационарности и относительного коэффициента теплопроводности на формирование термогидродинамических режимов. Установлено, что учет механизма излучения приводит к повышению температуры в газовой полости. Определены масштабы нелинейного влияния внешней среды, вследствие кондуктивного теплопереноса в твердых стенках, ограничивающих газовую полость. Установлено, что уменьшение относительного коэффициента теплопроводности приводит к уменьшению среднего числа Нуссельта на характерных границах раздела. Показано, что при уменьшении $\overline{\lambda}$ прослеживается гидродинамический переход от двухмасштабной вихревой структуры к одномасштабной. Установлено, что с течением времени в результате прогрева стенок замкнутой области вторичная циркуляция, расположенная в зоне верхнего левого угла, уменьшается и начинает преобладать одномасштабная вихревая структура.

ЛИТЕРАТУРА

- 1. Жукаускас А.А. Конвективный перенос в теплообменниках. М.: Наука, 1982. 472 с.
- 2. Лыков А.В. Теория теплопроводности. М.: Высшая школа, 1967. 600 с.
- 3. Андрижиевский А.А., Лукашевич А.Г., Трифонов А.Г. Пространственное моделирование тепловых сборосов в водные системы // V Минский Международный форум по тепло- и массообмену (электронная версия докладов). Минск: Институт тепло- и массообмена им. А.В. Лыкова, 2004.
- 4. *Соковишин Ю.А.*, *Мартыненко О.Г.* Введение в теорию свободно-конвективного теплообмена. Л.: Изд-во Ленингр. ун-та, 1982. 224 с.
- 5. Спэрроу Э.М., Сесс Р.Д. Теплообмен излучением. Л.: Энергия, 1971. 296 с
- 6. Вержбицкий Г.В. Основы численных методов. М.: Высшая школа, 2002. 840 с.
- 7. *Пасконов В.М.*, *Полежаев В.И.*, *Чудов Л.А*. Численное моделирование процессов тепло и массообмена. М.: Наука, 1984. 288 с.
- 8. *Роуч П.* Вычислительная гидродинамика. М.: Мир, 1980. 616 с.
- 9. *Тарунин Е.Л.* Вычислительный эксперимент в задачах свободной конвекции. Иркутск: Изд-во Иркут. ун-та, 1990. 225 с.
- 10. Самарский А.А. Теория разностных схем. М.: Наука, 1977. 656 с.
- 11. De Vahl Davis G. Natural convection of air in a square cavity: a bench mark numerical solution // Int. J. Numer. Methods Fluids. 1983. V. 3. P. 249 264.
- 12. Hortmann M., Peric M., Sheuerer G. Finite volume multigrid prediction of laminar natural convection: benchmark solutions // Int. J. Numer. Methods Fluids. 1990. V. 11. P. 189 207.
- 13. *Kalita J.C.*, *Dalal D.C.*, *Dass A.K.* Fully compact higherorder computation of steady-state natural convection in a square cavity // Phys. Rev. E64. 2001. P. 1 13.
- 14. Bejan A. Convection Heat Transfer. John Wiley & Sons Inc., 1995.
- 15. Merrikh A.A., Lage J.L. Natural convection in an enclosure with disconnected and conducting solid blocks // Int. J. Heat and Mass Transfer. 2004. V. 46. P. 995 1008.
- House J.M., Beckermann C., Smith T.F. Effect of a centered conducting body on natural convection heat transfer in an enclosure // Numer. Heat Transfer. Part A. 1990. V. 18. P. 213 225.

СВЕДЕНИЯ ОБ АВТОРАХ:

МАРТЮШЕВ Семен Григорьевич – аспирант кафедры теоретической механики Томского государственного университета.

ШЕРЕМЕТ Михаил Александрович – кандидат физико-математических наук, доцент кафедры теоретической механики Томского государственного университета. E-mail: sheremet@math.tsu.ru

Статья принята в печать 15.12.2009 г.